

## V-46 鉄道ラーメン高架橋のはり・柱接合部の実験的研究

JR東日本 東北工事事務所○正会員 斎藤 啓一  
 JR東日本 東北工事事務所 正 三輪 渡  
 JR東日本 東北工事事務所 正 佐々木光春

## 1.はじめに

従来、鉄道ラーメン高架橋には、SD345の鉄筋を用いていた。高強度鉄筋(SD390)を使用すると、必要な鉄筋量を減らすことが可能となり、配筋作業の簡素化が図られる。しかし、部材断面が小さくなり、部材接合部において鉄筋の定着破壊や、接合部内でせん断破壊が生じやすくなるので、高強度鉄筋を用いた部材接合部の力学的な性状が重要となる。これまでに、これらの問題を解明するために、はり・柱接合部の模型ト形試験体を作成し、水平交番載荷試験を実施し、得られた結果を報告した<sup>1) 2)</sup>。今回、これらの結果を取りまとめ、破壊状況について考察を加えたので、以下に結果を報告する。

## 2.試験概要

試験状況を図-1に、試験体の形状ならびに概要を図-2、表-1に示す。試験装置の都合で、柱を水平にして、荷重をはりに載荷した。

主な着目点は、はりの主鉄筋量、接合部の带鉄筋量、はりの帶鉄筋量ならびにはりの主鉄筋定着部の形状等である。

## 3.結果と考察

## (1)破壊状況

試験の結果、すべての試験体がはりの主鉄筋がまず降伏し、その後、水平交番載荷されるにしたがって、はりが破壊する(BB)、あるいは接合部内がせん断破壊する(BJ)、また両者がほぼ同時に破壊したものと考えられる(BJB)の、3つの破壊パターンが認められた。

## (2)破壊パターンとバラメータ

試験により認められた3つの破壊パターンを、(1)式に示すはりの主鉄筋に関するバラメータにより区分することを試みた。

$$[p \cdot (f_y/f_c) \cdot (\phi/Y)] \cdot (d/Y) \dots \dots \dots (1)$$

ここで、 $p$ :はりの主鉄筋比(片側の値)  $f_y$ :はりの主鉄筋の降伏強度( $\text{kg}/\text{cm}^2$ )  $f_c$ :コンクリートの圧縮強度( $\text{kg}/\text{cm}^2$ )  $\phi$ :はりの主鉄筋の径(cm)  $d$ :はりの有効高さ(cm:図-2参照)  $Y$ :はりの主鉄筋の水平投影長さ(cm:図-2参照)とする。

これより、試験体番号ごとに整理したものを図-3に、接合部の带鉄筋量( $p_{w1} \cdot f_{wy1}/f_c$ )との関係を図-4に、はりの带鉄筋量( $p_{w2} \cdot f_{wy2}/f_c$ )との関係

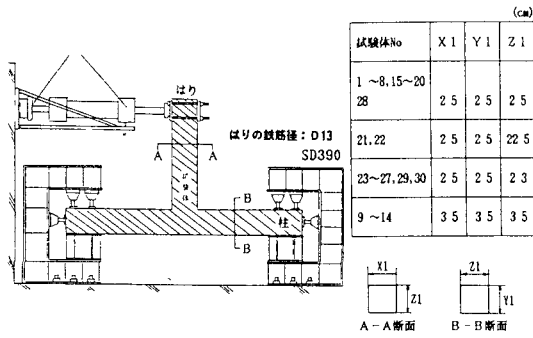


図-1 試験状況

表-1 試験体の形状ならびに概要

試験体番号	b cm	d cm	Y cm	As $\text{kg}/\text{cm}^2$	$f_c$ $\text{kg}/\text{cm}^2$	接合部 の補強 の強度 $\text{kg}/\text{cm}^2$	主鉄筋 の形状	破壊 形態
1	25	21.5	21.5	21.5	D13-5	257	0-0-0	U
2	25	21.5	21.5	21.5	D13-5	287	V-3-D6	U
3	25	21.5	21.5	21.5	D13-3	264	0-0-0	U
4	25	21.5	21.5	21.5	D13-3	287	V-1-D6	U
5	25	21.5	21.5	21.5	D13-3	326	V-3-D6	U
6	25	21.5	21.5	21.5	D13-5	278	0-0-0	L
7	25	21.5	21.5	21.5	D13-5	292	V-1-D6	L
8	25	21.5	21.5	21.5	D13-5	297	V-3-D6	L
9	35	31.5	31.5	31.5	D13-5	281	V-1-D6	L
10	35	31.5	31.5	31.5	D13-5	312	V-2-D6	L
11	35	31.5	31.5	31.5	D13-5	285	H-1-D6	L
12	35	31.5	31.5	31.5	D13-5	297	0-0-0	L
13	35	31.5	31.5	31.5	D13-5	286	H-1-D6	L
14	35	31.5	31.5	31.5	D13-5	276	H-2-D6	L
15	25	21.5	21.5	21.5	D13-3	256	H-1-D6	L
16	25	21.5	21.5	21.5	D13-3	265	H-3-D6	L
17	25	21.5	21.5	21.5	D13-3	325	0-0-0	L
18	25	21.5	21.5	21.5	D13-3	332	0-0-0	U
19	25	21.5	21.5	21.5	D13-3	273	0-0-0	折曲げ
20	25	21.5	21.5	21.5	D13-3	313	H-5-D6	L
21	25	21.5	21.5	21.5	D13-3	250	0-0-0	L
22	22	21.5	21.5	21.5	D13-4	212	V-2-D6C	L
23	22	21.5	21.5	21.5	D13-4	219	V-2-D6S	L
24	23	21.5	21.5	21.5	D13-4	263	V-4-D6C	L
25	23	21.5	21.5	21.5	D13-4	197	V-4-D6	L
26	23	21.5	21.5	21.5	D13-4	214	V-6-D6	L
27	23	21.5	21.5	21.5	D13-4	272	V-8-D6	L
28	23	21.5	21.5	21.5	D13-4	293	M-9-D6	L
29	25	21.5	21.5	21.5	D13-4	242	V-8-D6	L
30	23	21.5	21.5	21.5	D13-4	222	V-5-D10	L

記号 X-X:Y-Y:Z-Z 設置 方向 - 混凝土本数 - 鉄筋の種類  
 V:鉛直 H:水平 M:斜位置 C:中央配置 S:主鉄筋位置  
 U:U7.7 L:L7.7

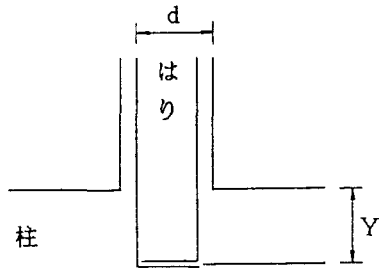


図-2 試験体の形状

を図-5に示す。ここで、 $pwl$ :接合部の帶鉄筋比  
 $fwyl$ :接合部の帶鉄筋の降伏強度( $\text{kg}/\text{cm}^2$ )  $pw2$ :はりの帶鉄筋比  $pwy2$ :はりの帶鉄筋の降伏強度( $\text{kg}/\text{cm}^2$ )とする。

図-3～5から、破壊パターンと接合部の帶鉄筋量やはりの帶鉄筋量との間には明確な関連は認められないが、(1)式により求められる値が0.005以下の場合に、はり部の破壊(BB)となるようである。

### (3)既往の研究による確認

(1)式により、接合部の破壊パターンを区分できると思われる結果を得たので、既往の関根<sup>3)</sup>角<sup>4),5)</sup>森田<sup>6)</sup>渡辺<sup>7)</sup>らの研究による検証を試みた。なお、試験結果には、はりの主鉄筋が降伏せずに接合部が破壊したものも含んでいる。試験体の形状等を表-2に示す。結果を図-6に示す。これからも、(1)式により求められる値が0.005以下となると、はりの破壊(BB)となることが確認できた。

### 3.まとめ

本研究により得られた主な結果を以下に示す。

(1) 高強度鉄筋(SD390)を用いたト形のはり・柱接合部が、水平交番載荷を受ける場合の破壊状況は、はりが破壊する(BB)、あるいは接合部内がせん断破壊する(BJ)、また両者がほぼ同時に破壊する(BJB)の、3つのパターンがある。

(2) (1)式により求められる値が0.005以下であれば、はり部の破壊となるようである。

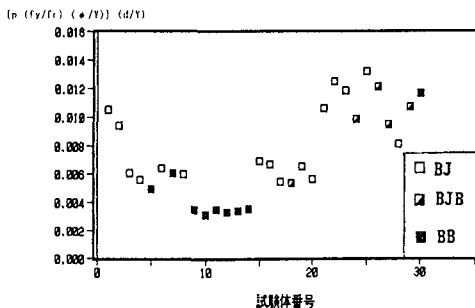


図-3 はりの引張鉄筋量に関するパラメータ

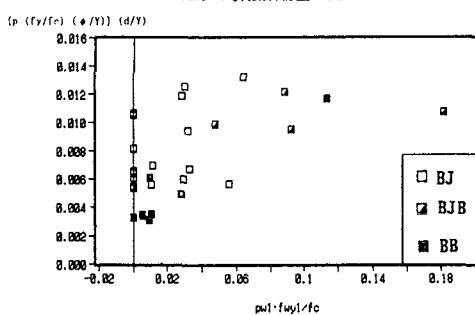


図-4 接合部の帶鉄筋量に関するパラメータ

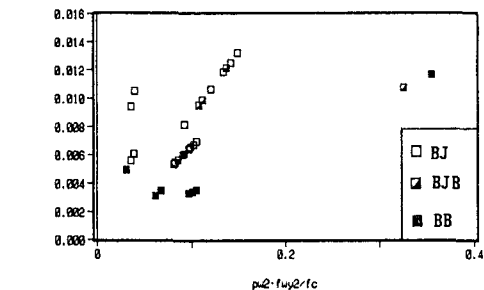


図-5 はりの帶鉄筋量に関するパラメータ

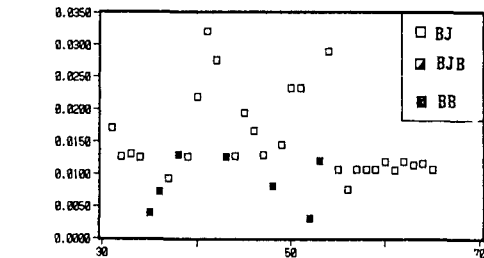


図-6 既往の研究による結果

(参考文献) 1) 大西 英郎 番例:はり・柱接合部の耐力に関する実験的研究 JCI第12回コロナード工学年次論文報告集 1980 pp681～684 2) 鹿瀬 齊藤 三輪:高強度鉄筋を用いたはり・柱接合部の耐力に関する実験的研究 土木学会第46回国次学術講演会 1991 pp741～745 3) 関根 小倉:鉄筋2φ9.5柱+梁接合部(ト形)に関する実験的研究 JCI第2回コロナード工学年次論文報告集 1986 pp405～408 4) 角 大山 牧村 八代:RC柱・はり接合部におけるはり主筋の耐力性能に関する実験的研究 JCI第8回コロナード工学年次論文報告集 1986 pp641～644 5) 角 浅草 鳥羽 持田:高強度2φ10柱を用いた筋筋2φ10柱+はり外部接合部のせん断抵抗性状に関する研究 JCI第13回コロナード工学年次論文報告集 1991 pp469～474 6) 森田 舜井 野村 RC外部柱・梁接合部の耐力と変形性状 JCI第9回コロナード工学年次論文報告集 1987 pp175～180 7) 渡辺 松本 三馬:鉄筋2φ10柱高差構における柱・はり接合部がじん性率に及ぼす影響にに関する実験的研究 JCI第13回コロナード工学年次論文報告集 1991 pp525～530

表-2 試験体の形状等

Ref.	個数	b	d	Y	A <sub>s</sub>	f <sub>y</sub>	f <sub>c</sub>
3)	4	25	24	20	0.19	3770	240～329
4)	20	12	19	14～40	0.16	3530	294～380
5)	4	22	20	20	0.13	10700	673～759
6)	5	30	26	27	0.13, 0.19	3700, 3900	344
7)	2	50	55	42	0.25	4070	251, 271